

УДК 621.391

**ОПТИМАЛЬНАЯ ОЦЕНКА ФАЗЫ НЕСУЩЕЙ
ПРИ ДЕМОДУЛЯЦИИ СИГНАЛОВ ЦИФРОВОЙ МОДУЛЯЦИИ**

ИВАЩЕНКО П.В., ПЕРЕКРЕСТОВ И.С.

Одесская национальная академия связи им. А.С. Попова

**OPTIMAL ESTIMATES OF PHASE CARRIER
DURING DEMODULATION OF DIGITAL MODULATION SIGNALS**

IVASCHENKO P.V., PEREKRESTOV I. S.

Odessa national academy of telecommunications n.a. O.S. Popov

Аннотация. Произведен сравнительный анализ двух способов синхронизации, обеспечивающих максимально правдоподобную оценку символов в процессе демодуляции: подстройка фазы опорных колебаний и сдвиг по фазе сигнала, который демодулируется.

Summary. A comparative analysis of two methods of synchronization is performed, ensuring the maximum likelihood estimate of symbols in the demodulation process: the phase of reference oscillations is adjusting and the phase of demodulated signal is shifting.

Производительность современных систем передачи зависит от большого количества различных факторов, среди которых определяющими являются: эффективность кодеров источника и канала, применяемый вид модуляции. В современных цифровых системах передачи, используются эффективные методы модуляции. Проблема детектирования сигналов таких видов модуляции, заключается в обеспечении когерентной демодуляции.

На протяжении многих последних десятилетий задача когерентной демодуляции решалась на основе фазовой автоматической подстройки частоты (ФАПЧ). Системы, основанные на данном принципе, были детально проанализированы Дж. Дж. Стиффлером [2], В. Линдсейем, Э.Д. Витерби и другими. Однако, в последние годы, с появлением высокопроизводительных сигнальных процессоров, актуальным стал способ обеспечения когерентной демодуляции путем сдвига по фазе демодулируемого сигнала, который легко реализуется при цифровой обработке сигналов в демодуляторе и свободен от некоторых недостатков, свойственных ФАПЧ.

Целью данной работы является сравнение двух принципиально отличных друг от друга способов обеспечения когерентной демодуляции: 1) подстройка фазы опорных колебаний, 2) сдвиг по фазе сигнала, который демодулируется.

ПОСТАНОВКА ЗАДАЧИ

К сигналам, обеспечивающим эффективное использование ресурсов системы передачи, относятся, прежде всего, двумерные сигналы ФМ-М ($M \geq 4$), АФМ-М, КАМ-М. Их математическое описание – модулированный сигнал $s(t)$ представляет собой случайную последовательность детерминированных канальных символов, отображающих первичный цифровой сигнал и следующих через тактовый интервал T [1]:

$$s(t) = \sum_{k=-\infty}^{\infty} s_i^{(k)}(t - kT), \quad (1)$$

где $s_i(t)$, $i = 0, \dots, M - 1$ – канальные символы;

$M = 2^n$ – канальных символов;

n – число бит, передаваемых канальным символом;

T – тактовый интервал – время, через которое передаются канальные символы;

$s_i^{(k)}(t - kT)$ – i -й канальный символ, передаваемый на k -ом тактовом интервале.

В случае двумерных сигналов ФМ- M ($M \geq 4$), АФМ- M , КАМ- M канальные символы описываются, например, при $k = 0$

$$s_i(t) = a_{0i} \sqrt{2} A(t) \cos 2\pi f_0 t + a_{1i} \sqrt{2} A(t) \sin 2\pi f_0 t, \quad i = 0, 1, \dots, M - 1, \quad (2)$$

где a_{0i} и a_{1i} – пара коэффициентов, отображающая $n = \log_2 M$ передаваемых бит в соответствии с модуляционным кодом.

$A(t)$ – функция, определяющая форму радиоимпульсов (канальных символов);

$\sqrt{2} A(t) \cos 2\pi f_0 t$ и $\sqrt{2} A(t) \sin 2\pi f_0 t$ – косинусный и синусный импульсы-переносчики, из которых состоят канальные символы;

f_0 – частота радиоимпульсов.

Определение канальных символов (2) можно переписать в виде

$$s_i(t) = A_i \sqrt{2} A(t) \cos(2\pi f_0 t + \varphi_i), \quad i = 0, 1, \dots, M - 1, \quad (3)$$

где

$$A_i = \sqrt{a_{0i}^2 + a_{1i}^2}; \quad \varphi_i = -\arctg \frac{a_{1i}}{a_{0i}} \quad (4)$$

амплитуда и фаза i -го канального символа.

Косинусный и синусный импульсы являются нормированными и образуют базис двумерного пространства канальных символов:

$$\left. \begin{aligned} \psi_0(t) &= \sqrt{2} A(t) \cos 2\pi f_0 t, \\ \psi_1(t) &= \sqrt{2} A(t) \sin 2\pi f_0 t. \end{aligned} \right\} \quad (5)$$

При таком базисе канальные символы представляются

$$s_i(t) = \sum_{k=0}^1 a_{ki} \psi_k(t), \quad i = 0, 1, \dots, M - 1, \quad (6)$$

где a_{0i} и a_{1i} – координаты i -го канального символа в пространстве канальных символов.

Будем считать, что в системе передачи используется канал связи с постоянными параметрами, в котором сигнал претерпевает случайный сдвиг по фазе $\varphi_{\text{нес}}$. В канале связи действует АБГШ $n(t)$ со спектральной плотностью мощности N_0 . В таком случае сигнал на выходе канала связи записывается

$$z(t) = s(t) \cos \varphi_{\text{нес}} - \tilde{s}(t) \sin \varphi_{\text{нес}} + n(t), \quad (7)$$

где $\tilde{s}(t)$ – преобразованный по Гильберту сигнал $s(t)$.

Обработка сигналов ФМ- M ($M \geq 4$), АФМ- M , КАМ- M в демодуляторе заключается в синхронном детектировании и согласованной фильтрации [1]. В результате обработки на каждом тактовом интервале необходимо получить оценки коэффициентов \mathcal{A}_0 и \mathcal{A}_1 , на основе которых выносится решение о номере канального символа либо эти оценки используются для декодирования по максимуму правдоподобия последовательности. Проблема состоит в

том, что опорные колебания в синхронных детекторах демодулятора имеют начальные фазы $\varphi_{оп}$, отличающиеся от начальной фазы несущей, которая на входе демодулятора равна $\varphi_{нес}$.

В работе обсуждаются два альтернативных пути, обеспечивающих получение максимально правдоподобных оценок коэффициентов \mathcal{K}_0 и \mathcal{K}_1 .

АНАЛИЗ ОБРАБОТКИ СИГНАЛА В ДЕМОДУЛЯТОРЕ

Демодулятор двумерных сигналов обеспечивает «поэлементный прием», при котором последовательно обрабатываются отдельные каналные символы, с вынесением решений по каждому из них независимо от других символов. Рассмотрим обработку канального символа, передаваемого на произвольном тактовом интервале, например, на интервале с номером $k = 0$:

$$z(t) = a_{0i} \sqrt{2} A(t) \cos(2\pi f_0 t + \varphi_{нес}) + a_{1i} \sqrt{2} A(t) \sin(2\pi f_0 t + \varphi_{нес}) + n(t). \quad (8)$$

Оптимальная обработка сигнала (8), соответствующая критерию максимума правдоподобия, заключается в вычислении скалярного произведения сигнала (8) и базисных функций

$$\left. \begin{aligned} \psi_0^{нес}(t) &= \sqrt{2} A(t) \cos(2\pi f_0 t + \varphi_{нес}), \\ \psi_0^{нес}(t) &= \sqrt{2} A(t) \sin(2\pi f_0 t + \varphi_{нес}). \end{aligned} \right\} \quad (9)$$

Реализуется эта обработка с использованием трех операций: синхронного детектирования с опорными колебаниями $\cos(2\pi f_0 t + \varphi_{нес})$ и $\sin(2\pi f_0 t + \varphi_{нес})$, согласованной фильтрации импульсов $A(t)$ и взятия отсчетов фильтрованных импульсов.

Значение фазы $\varphi_{нес}$ в демодуляторе не известно, и используются базисные функции

$$\left. \begin{aligned} \psi_0^{оп}(t) &= \sqrt{2} A(t) \cos(2\pi f_0 t + \varphi_{оп}), \\ \psi_0^{оп}(t) &= \sqrt{2} A(t) \sin(2\pi f_0 t + \varphi_{оп}). \end{aligned} \right\} \quad (10)$$

Сигнал (8) представляется коэффициентами z_0 и z_1 :

$$z(t) = z_0 \psi_0^{оп}(t) + z_1 \psi_1^{оп}(t), \quad (11)$$

где

$$z_k = \int_0^{T_s} z(t) \psi_k^{оп}(t) dt, \quad k = 0, 1; \quad (12)$$

T_s – длительность базисных функций.

Вычисление коэффициентов z_0 и z_1 производится схемой, приведенной на рис.1. В синхронных детекторах используются опорные колебания

$$u_{оп0}(t) = \sqrt{2} \cos(2\pi f_0 t + \varphi_{оп}) \quad \text{и} \quad u_{оп1}(t) = \sqrt{2} \sin(2\pi f_0 t + \varphi_{оп}). \quad (13)$$

Полагая, что отклик согласованного фильтра $P(t)$ на импульс $A(t)$ имеет значение $P(0) = 1$, после подстановки (6) и (10) в (9) получим

$$\left. \begin{aligned} z_0(\varphi) &= a_{0i} \cos \varphi - a_{1i} \sin \varphi + \zeta_0, \\ z_1(\varphi) &= a_{0i} \sin \varphi + a_{1i} \cos \varphi + \zeta_1, \end{aligned} \right\} \quad (14)$$

где $\varphi = \varphi_{оп} - \varphi_{нес}$;

ζ_0 и ζ_1 – гауссовские некоррелированные величины с нулевым средним.

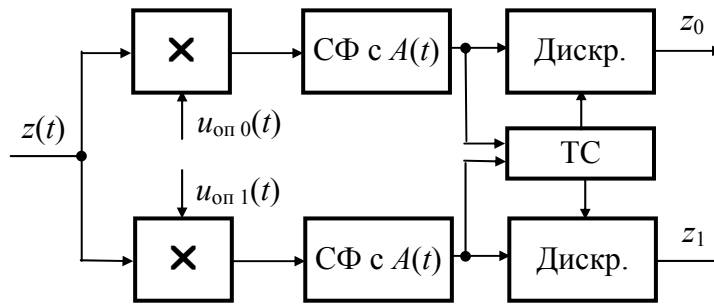


Рисунок 1 – Вычисление коэффициентов z_0 и z_1
 (X – множитель; СФ с $A(t)$ – фильтр, согласованный с $A(t)$;
 Дискр. – дискретизатор; ТС – тактовая синхронизация)

Из выражений (14) следует, что коэффициенты z_0 и z_1 дают максимально правдоподобные оценки $\hat{\epsilon}_0$ и $\hat{\epsilon}_1$ при $\varphi = 0$:

$$\hat{\epsilon}_0 = a_{0i} + \zeta_0, \quad \hat{\epsilon}_1 = a_{1i} + \zeta_1. \quad (15)$$

Для получения максимально правдоподобных оценок $\hat{\epsilon}_0$ и $\hat{\epsilon}_1$ может быть использован один из двух альтернативных подходов:

1) обеспечение $\varphi_{оп} = \varphi_{нес}$ путем подстройки фазы опорных колебаний [2, 3]; благодаря своей простоте этот подход использовался на протяжении многих последних десятилетий, для чего в состав демодулятора вводилась схема восстановления несущей (ВН), выполненная на основе фазовой автоматической подстройки частоты (ФАПЧ);

2) сдвиг по фазе демодулируемого сигнала на угол $\varphi_{оп} - \varphi_{нес}$; этот подход является относительно новым, поскольку может быть реализован только при процессорной реализации, так как подход требует вычисления значений тригонометрических функций.

ИСПОЛЬЗОВАНИЕ ФАПЧ ДЛЯ ФОРМИРОВАНИЯ ОПОРНЫХ КОЛЕБАНИЙ

Коэффициенты z_0 и z_1 (14) являются, во-первых, функциями разности фаз φ и, во-вторых, случайными гауссовскими некоррелированными величинами. Условные плотности вероятности $p(z/i, \varphi)$ являются двумерными распределениями, определяемыми произведениями двух одномерных распределений:

$$p(z/i, \varphi) = \frac{1}{(\sqrt{2\pi}\sigma)^2} \exp\left(-\frac{1}{2\sigma^2} \sum_{k=0}^1 (z_k(\varphi) - a_{ki})^2\right), \quad i = 0, \dots, M-1, \quad (16)$$

где σ^2 – дисперсия коэффициентов z_k .

Оценка параметра $\hat{\phi}$ по критерию максимума правдоподобия заключается в решении уравнения [2]

$$\frac{d}{d\varphi} \ln p(z/\varphi) = 0. \quad (17)$$

До решения уравнения (17) необходимо в (16) исключить параметр i . Полагая, что канальные символы $s_i(t)$ – равновероятные, запишем

$$p(z/\varphi) = \frac{1}{M} \sum_{i=0}^{M-1} \frac{1}{(\sqrt{2\pi}\sigma)^2} \exp\left(-\frac{1}{2\sigma^2} \sum_{k=0}^1 (z_k(\varphi) - a_{ki})^2\right). \quad (18)$$

Производя несложные преобразования выражения (18) и отбрасывая постоянные множители с учетом того, что при решении уравнения (17) производная плотности вероятности приравнивается нулю, уравнение (18) перепишем в виде

$$\frac{d}{d\varphi} \ln \sum_{i=0}^{M-1} \exp[z_0(\varphi)a_{0i} + z_1(\varphi)a_{1i}] = 0. \quad (19)$$

Ввиду громоздких последующих выкладок, рассмотрим решение задачи для конкретного метода модуляции, а именно, ФМ-4. С учетом сигнального созвездия ФМ-4 (рис. 2) и координат сигнальных точек (табл. 1) уравнение (19) приводится к виду

$$\text{th}(z_0(\varphi)a) \cdot \frac{dz_0(\varphi)}{d\varphi} + \text{th}(z_1(\varphi)a) \cdot \frac{dz_1(\varphi)}{d\varphi} = 0. \quad (20)$$

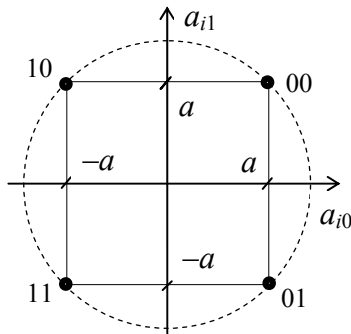


Рисунок 2– Сигнальное созвездие ФМ-4

Таблица 1 – Координаты сигнальных точек

i	a_{i0}	a_{i1}
0	a	a
1	a	$-a$
2	$-a$	a
3	$-a$	$-a$

Из соотношений (14) определим производные коэффициентов разложения z_0 и z_1 :

$$\frac{dz_0(\varphi)}{d\varphi} = -z_1(\varphi), \quad \frac{dz_1(\varphi)}{d\varphi} = z_0(\varphi). \quad (21)$$

Уравнение (20) приобретает следующий вид

$$\text{th}(z_1(\varphi)a)z_0(\varphi) - \text{th}(z_0(\varphi)a)z_1(\varphi) = 0. \quad (22)$$

Если в демодуляторе сигнала ФМ-4 разность фаз не равна нулю ($\varphi \neq 0$), то уравнение (22) при подстановке в него φ не выполняется. При этом левая часть дает значение ошибки, которая используется для подстройки фазы подстраиваемого генератора ФАПЧ

$$\varepsilon = \text{th}(z_1 a)z_0 - \text{th}(z_0 a)z_1. \quad (23)$$

Поскольку алгоритм вычисления ошибки фазы в петле ФАПЧ был предложен в эпоху аналоговой схемотехники [4], то вместо вычисления значений функции $\text{th } x$ предложено было использовать аппроксимирующую знаковую функцию

$$\text{sgn}(x) = \begin{cases} 1, & x > 0, \\ 0, & x = 0, \\ -1, & x < 0. \end{cases} \quad (24)$$

При этом соотношение (23) преобразуется к виду

$$\varepsilon = z_0 \cdot \text{sgn}(z_1) - z_1 \cdot \text{sgn}(z_0). \quad (25)$$

Этот алгоритм вычисления ошибки фазы известен в литературе как алгоритм Костаса [4]. Используя соотношения (11) и табл. 1, можно убедиться, что при любом номере i демодулируемого сигнала оценка ошибки по фазе определяется

$$\varepsilon = 2a \sin \varphi + \xi, \quad (26)$$

где ξ – гауссовская случайная величина, дисперсия которой в 2 раза больше дисперсий величин ζ_0 и ζ_1 .

При работе ФАПЧ $\varphi \rightarrow 0$, и при $\varphi = 0$ разность $\varphi_{\text{оп}} - \varphi_{\text{нес}}$ кратна величине 90° – это явление получило название неопределенность фазы порядка 90° . Как видим, оценка разности фаз ϕ в явном виде не вычисляется – условие синхронного детектирования выполняется путем $(\varphi_{\text{оп}} - \varphi_{\text{нес}}) \rightarrow 0$.

На рис. 3 показана система ФАПЧ, обеспечивающая формирование опорных колебаний и использующая детектор ошибки Костаса.

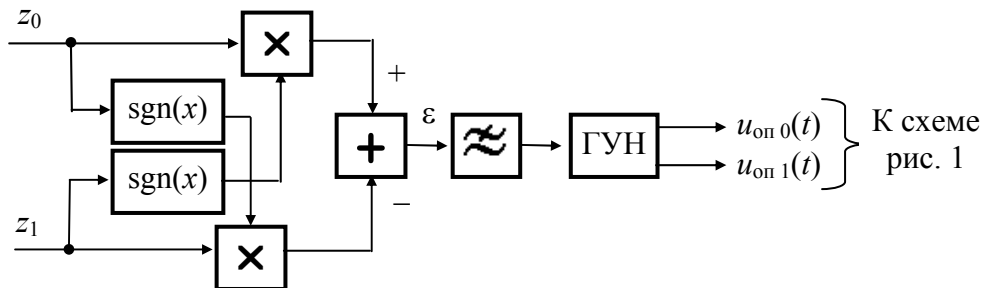


Рисунок 3 – Формирование опорных колебаний системой ФАПЧ
(ГУН – генератор, управляемый напряжением)

Так как схема ФАПЧ обеспечивает $(\varphi_{\text{оп}} - \varphi_{\text{нес}}) \rightarrow 0$, то коэффициенты z_0 и z_1 дают максимально правдоподобные оценки $\hat{\epsilon}_0$ и $\hat{\epsilon}_1$.

ИСПОЛЬЗОВАНИЕ ОЦЕНКИ РАЗНОСТИ ФАЗ ДЛЯ СДВИГА ПО ФАЗЕ ДЕМОДУЛИРУЕМОГО СИГНАЛА

Оценка фазы демодулируемого сигнала

$$\hat{\phi}(i) = -\text{arctg}(z_1/z_0) \quad (27)$$

является максимально правдоподобной, поскольку полученные коэффициенты z_0 и z_1 с помощью соотношения (12), удовлетворяют критерию максимума правдоподобия. Значение этой оценки зависит от номера передаваемого символа i . Исключить i можно путем снятия модуляции [3] – умножением $\hat{\phi}(i)$ на 4. Последующим делением на 4 значение оценки приводится к первому квадранту. При $\varphi = \varphi_{\text{оп}} - \varphi_{\text{нес}} = 0$ оценка $\hat{\phi}$ должна соответствовать но-

минальным значениям ϕ_i на рис. 2 – это $\pi/4, 3\pi/4, 5\pi/4$ и $7\pi/4$. Эти значения после умножения на 4 по модулю 2π дают π . С учетом сказанного приведенное к первому квадранту пространства канальных символов значение оценки фазы

$$\phi = \frac{1}{4} \text{mod} \left(\frac{4 \cdot \phi(i) - \pi}{2\pi} \right). \quad (28)$$

Используем полученное значение оценки для поворота по фазе демодулируемого сигнала

$$(z_0 + jz_1)e^{-j\phi} = (z_0 + jz_1)(\cos \phi - j \sin \phi) = (z_0 \cos \phi + z_1 \sin \phi) + j(z_1 \cos \phi - z_0 \sin \phi). \quad (29)$$

Новые координаты сигнала

$$z_0^* = z_0 \cos \phi + z_1 \sin \phi; \quad z_1^* = z_1 \cos \phi - z_0 \sin \phi. \quad (30)$$

После подстановки соотношения (14), описывающего демодулируемый сигнал $z_0(\varphi)$, в (30) получим среднее значение

$$\overline{z_0^*} = (a_{0i} \cos \varphi - a_{1i} \sin \varphi) \cos \phi + (a_{0i} \sin \varphi + a_{1i} \cos \varphi) \sin \phi.$$

Легко убедиться, что при $\varphi = \phi$ и отсутствии помех $\overline{z_0^*} = a_0$. Аналогично убеждаемся, что $\overline{z_1^*} = a_1$. Следовательно, оценки коэффициентов определяются $\hat{\epsilon}_0 = z_0^*$ и $\hat{\epsilon}_1 = z_1^*$.

Схема вычисления оценки разности фаз и сдвига по фазе демодулируемого сигнала приведена на рис. 4.

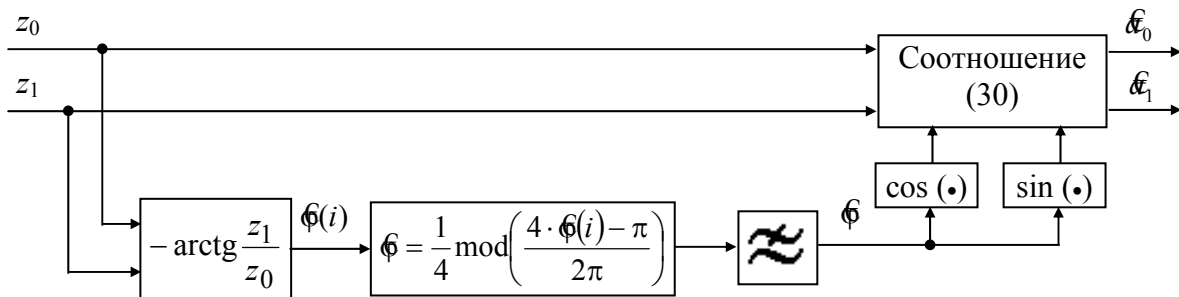


Рисунок 4 – Схема вычисления оценки разности фаз и сдвига по фазе демодулируемого сигнала

ФНЧ в цепи оценки разности фаз, так же как и в схеме ФАПЧ, предназначен для уменьшения дисперсии оценки.

Если разность фаз $\varphi = \varphi_{\text{оп}} - \varphi_{\text{нес}}$ является функцией времени, то можно говорить о разности частот несущей демодулируемого сигнала и опорного колебания. Некоторые алгоритмы обработки сигналов требуют знания оценки этой разности частот. Имея оценку фазы (28), можно оценить разность частот несущей демодулируемого сигнала и опорного колебания

$$\Delta f = \frac{1}{2\pi} \cdot \frac{\phi_k - \phi_{k-1}}{T}, \quad (31)$$

где k – номер тактового интервала;

T – тактовый интервал.

ВЫВОДЫ

1 Имеется два альтернативных способа выполнения когерентного детектирования сигналов цифровой модуляции – на основе ФАПЧ и сдвигом по фазе демодулируемого сигнала.

2 Схема со сдвигом по фазе демодулируемого сигнала свободна от ряда недостатков, свойственных схемам ФАПЧ и заключающихся в следующем:

– при снятии модуляции демодулируемого сигнала появляются новые шумовые составляющие, увеличивающие дисперсию фазы формируемого колебания [5];

– имеет место явление ложных захватов;

– ФАПЧ является системой с обратной связью и требует соответствующего обеспечения устойчивости.

3 В схеме со сдвигом по фазе демодулируемого сигнала можно осуществить оценку сдвига по частоте (31) и использовать ее при демодуляции сигнала.

4 В схеме со сдвигом по фазе демодулируемого сигнала по статистическим характеристикам разности фаз $\varphi = \varphi_{оп} - \varphi_{нес}$ можно синтезировать оптимальный ФНЧ для фильтрации оценки фазы.

ЛИТЕРАТУРА

1. Склад Б. Цифровая связь. Теоретические основы и практическое применение. Изд. 2-е, испр.: Пер. с англ. – М.: Издательский дом «Вильямс», 2003. – 1104 с.

2. Стиффлер Дж. Дж. Теория синхронной связи. Пер. с англ. Б.С. Цыбакова под ред. Э.М. Габидулина. М., Связь, 1975. – 488 с.

3. Окунев Ю.Б. Теория фазоразностной модуляции. – М.: Связь, 1979. – 216 с.

4. Costas J.P. Synchronous Communications. // PIRE. – 1956. – № 12, p. 1713 – 1718.

5. Банкет В.Л., Мельник А.М. Системы восстановления несущей при когерентном приеме дискретных сигналов. // Зарубежная радиоэлектроника. – 1983. – № 12, с. 28 – 49.